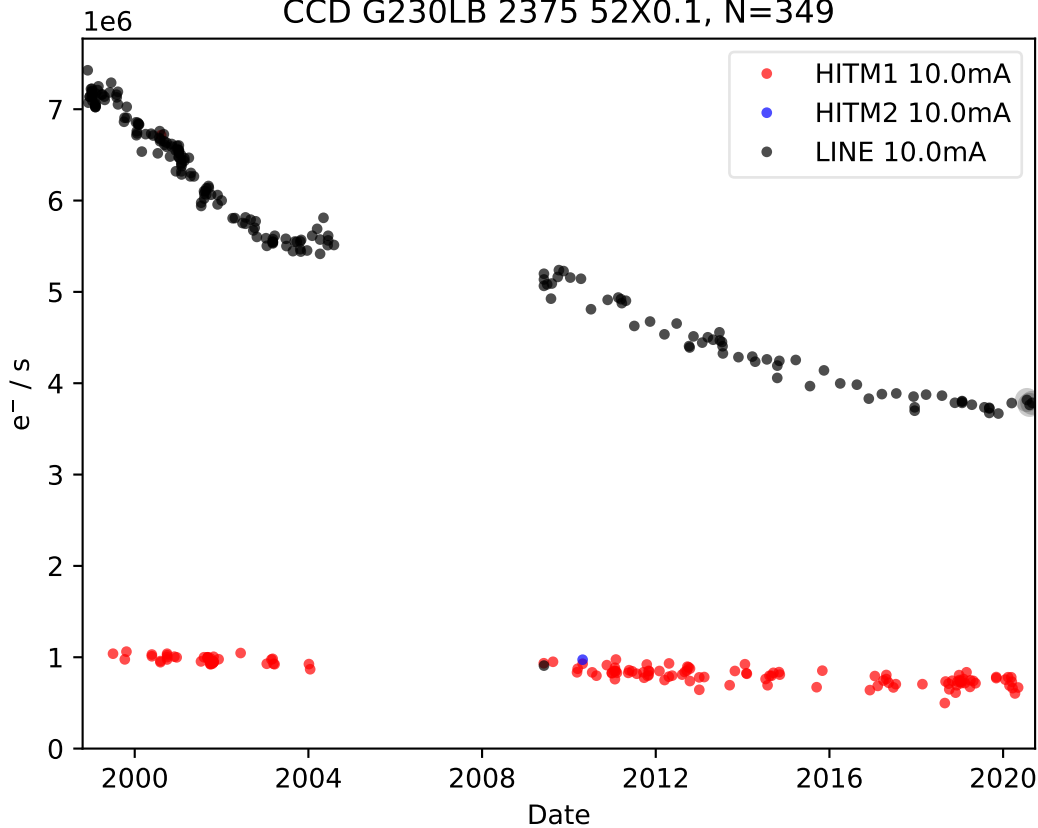
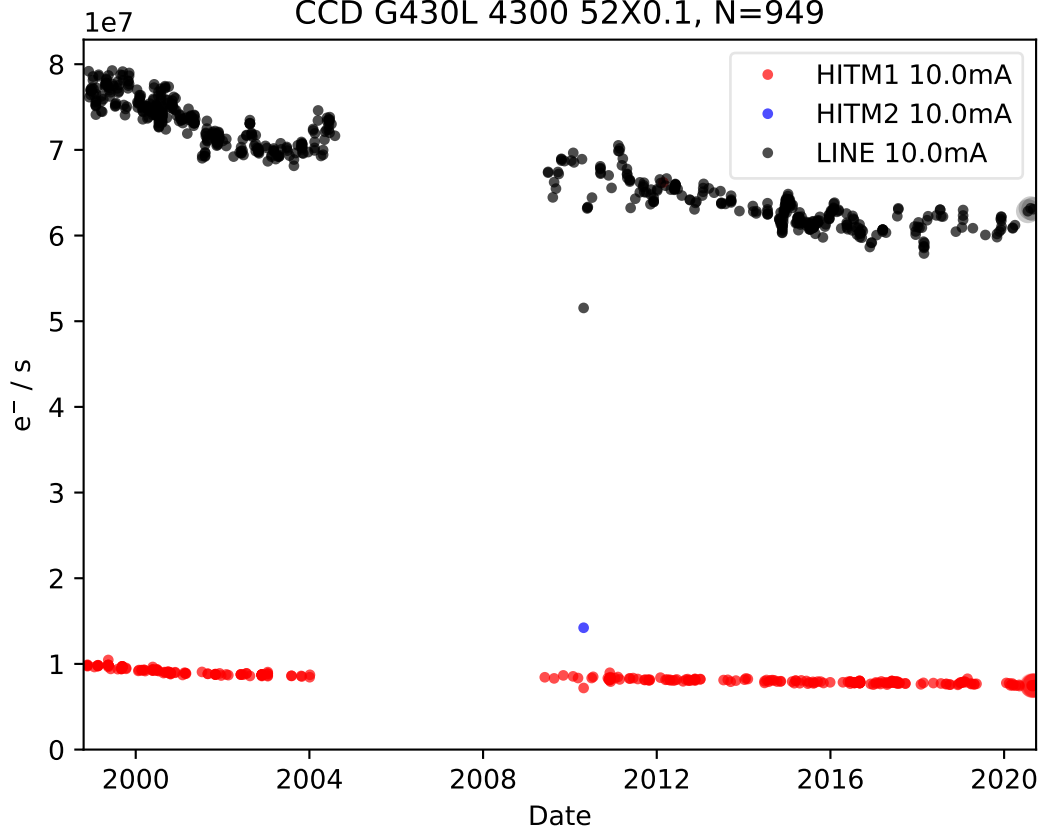


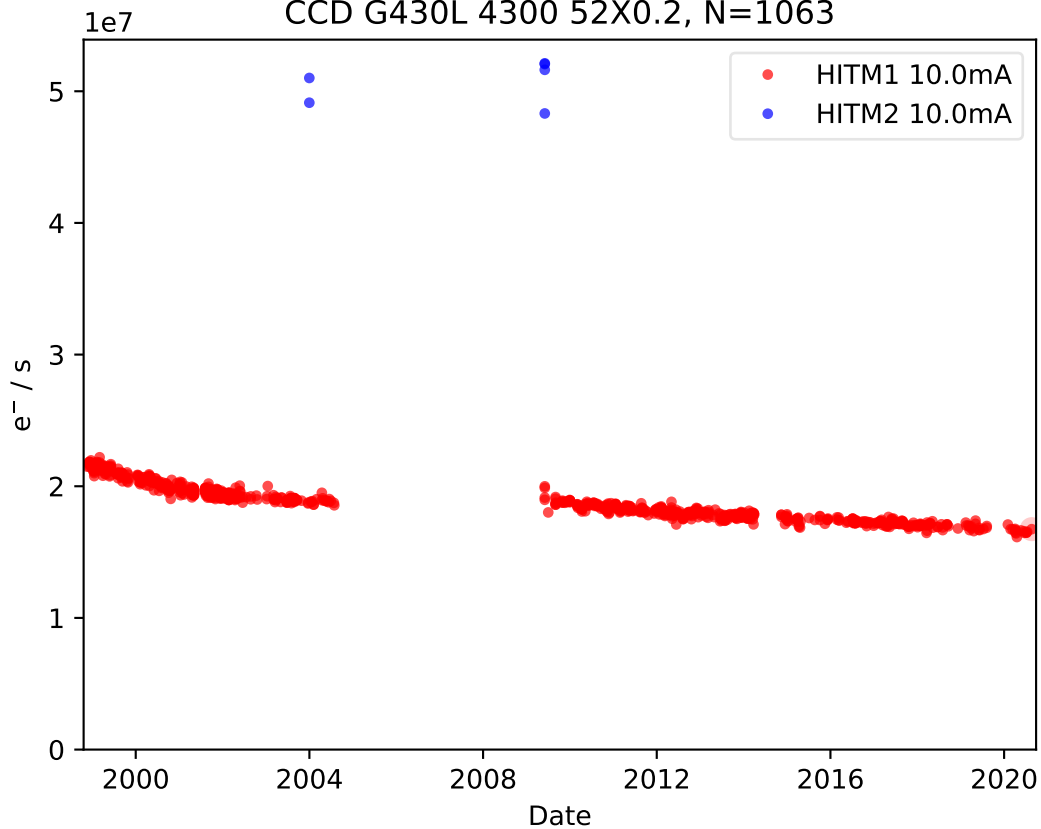
CCD G230LB 2375 52X0.1, N=349



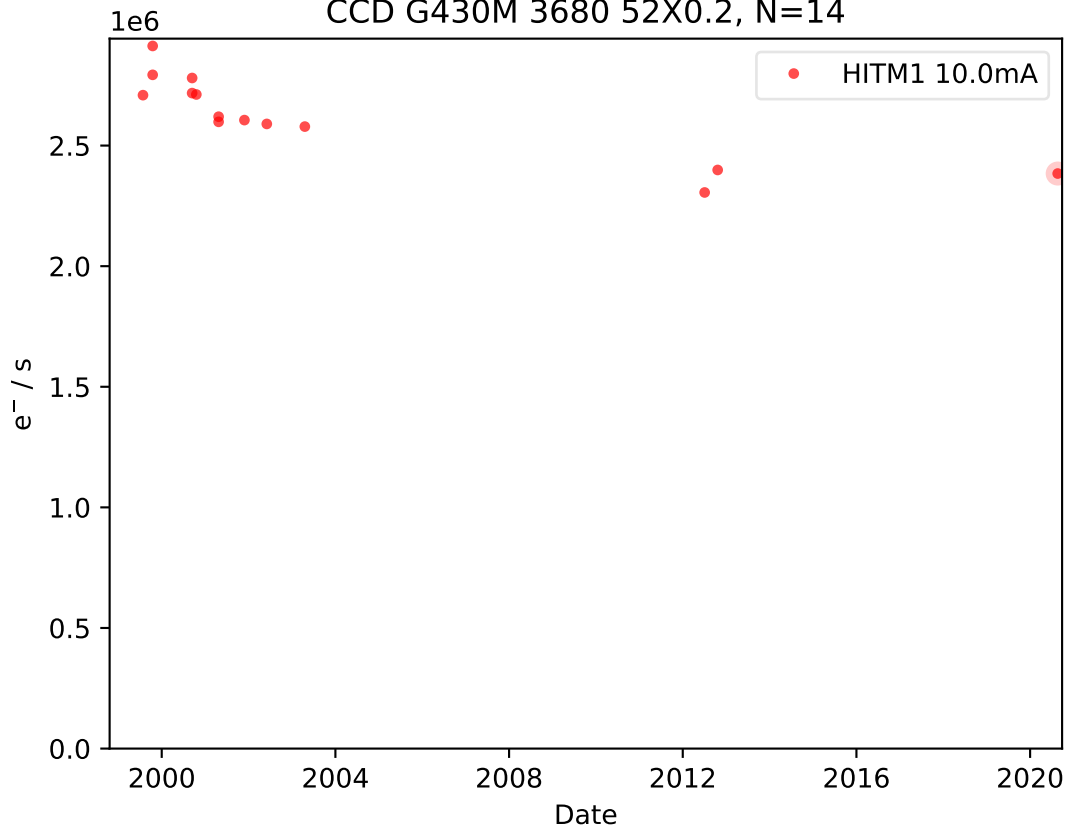
CCD G430L 4300 52X0.1, N=949



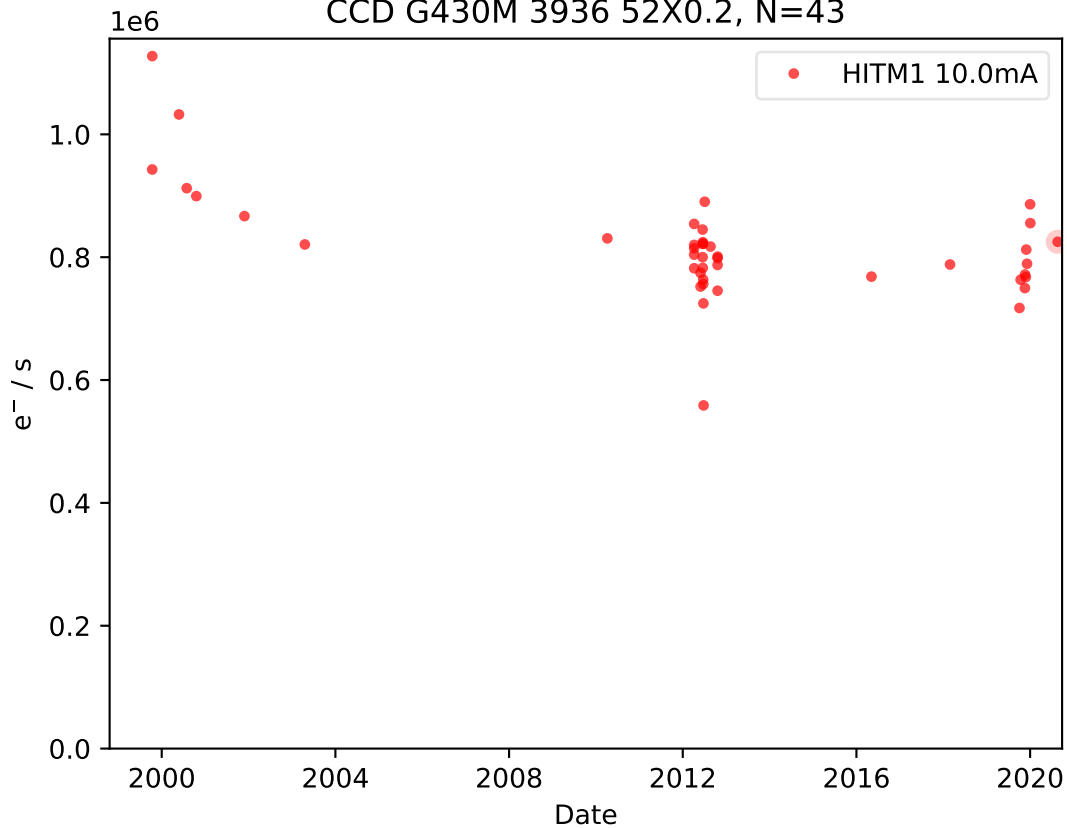
CCD G430L 4300 52X0.2, N=1063



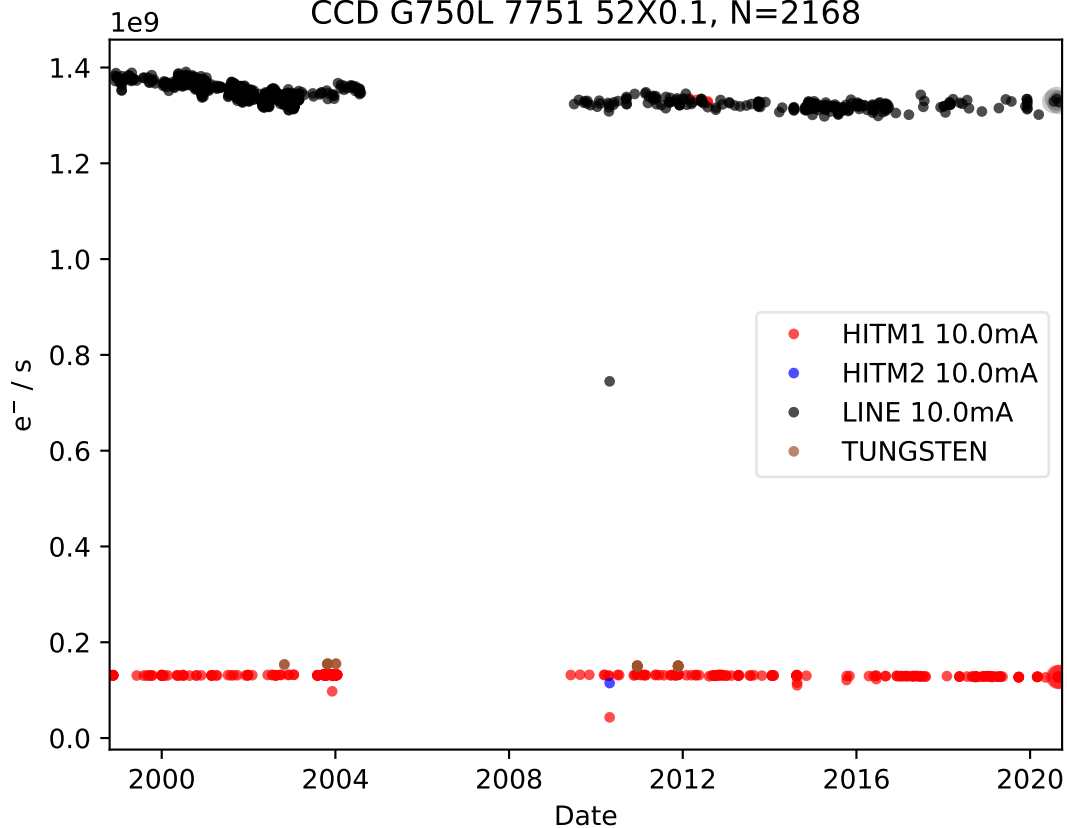
CCD G430M 3680 52X0.2, N=14



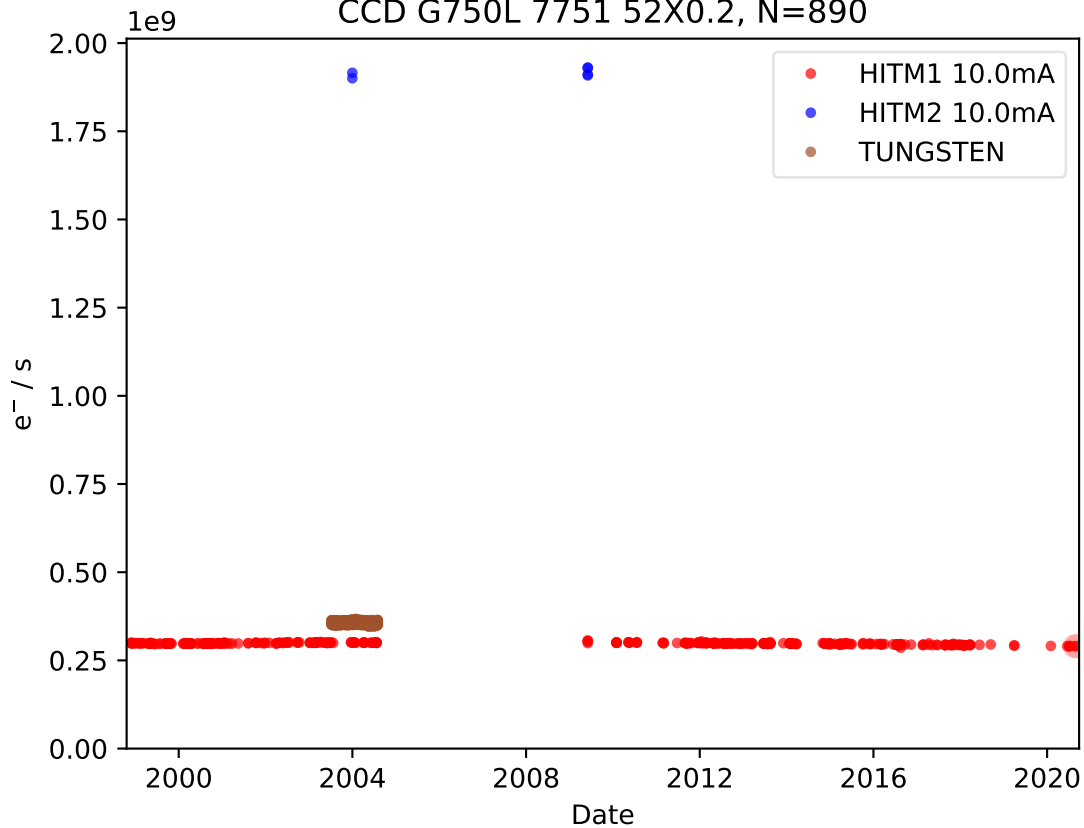
CCD G430M 3936 52X0.2, N=43



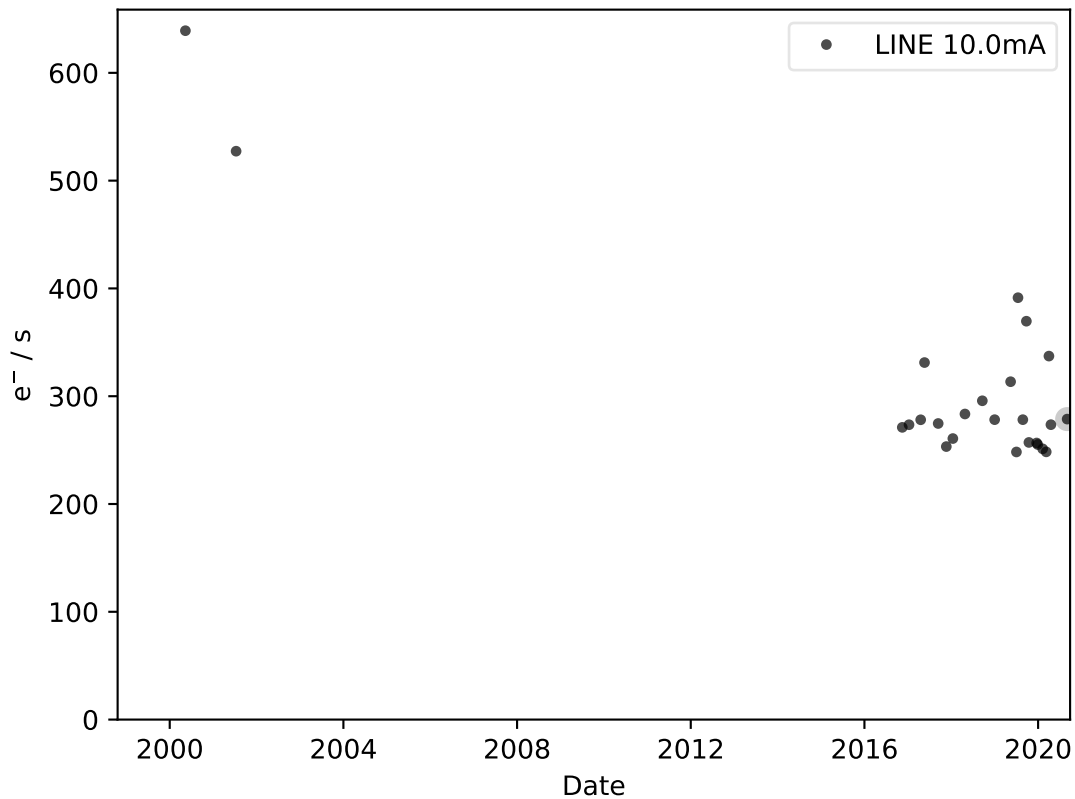
CCD G750L 7751 52X0.1, N=2168



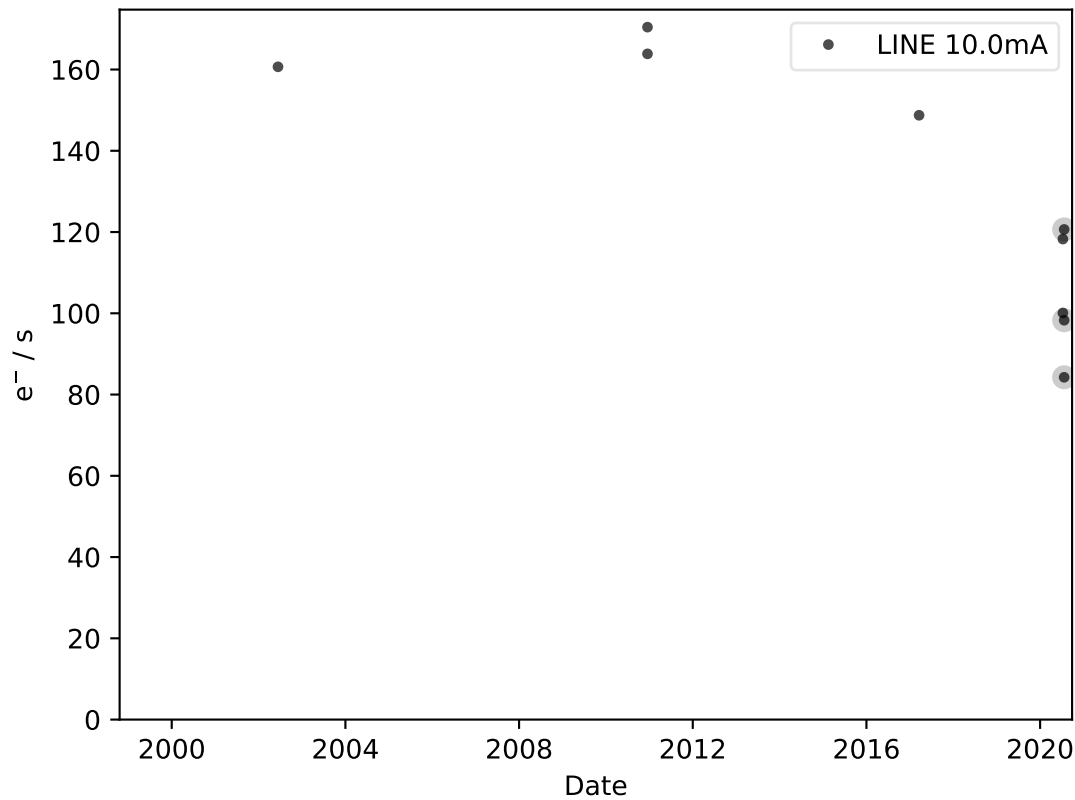
CCD G750L 7751 52X0.2, N=890



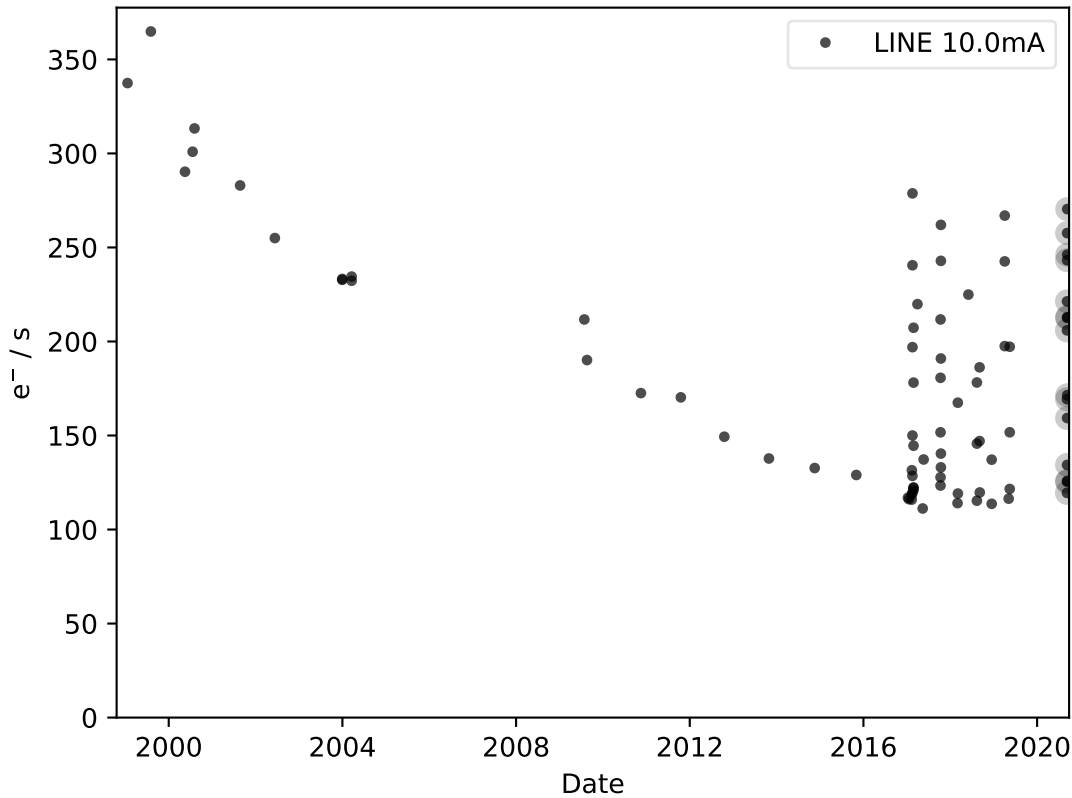
FUV-MAMA E140H 1416 0.2X0.2, N=25



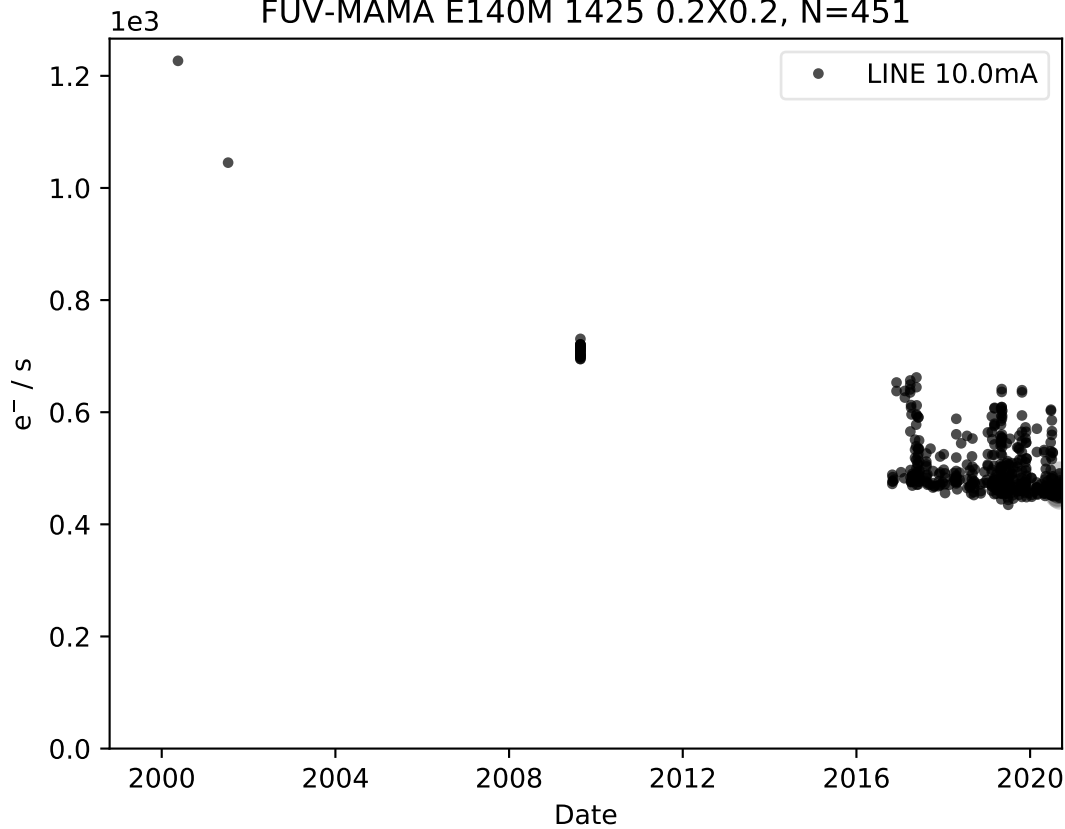
FUV-MAMA E140H 1562 0.2X0.09, N=9



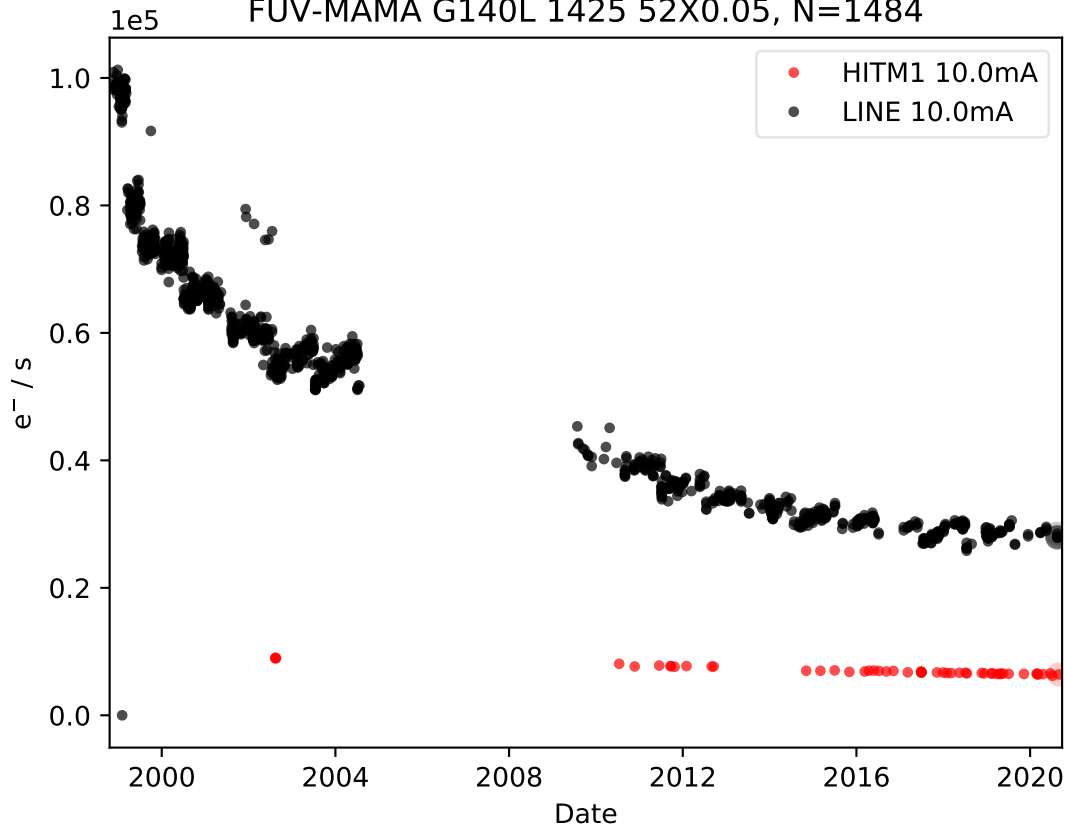
FUV-MAMA E140M 1425 0.2X0.06, N=83



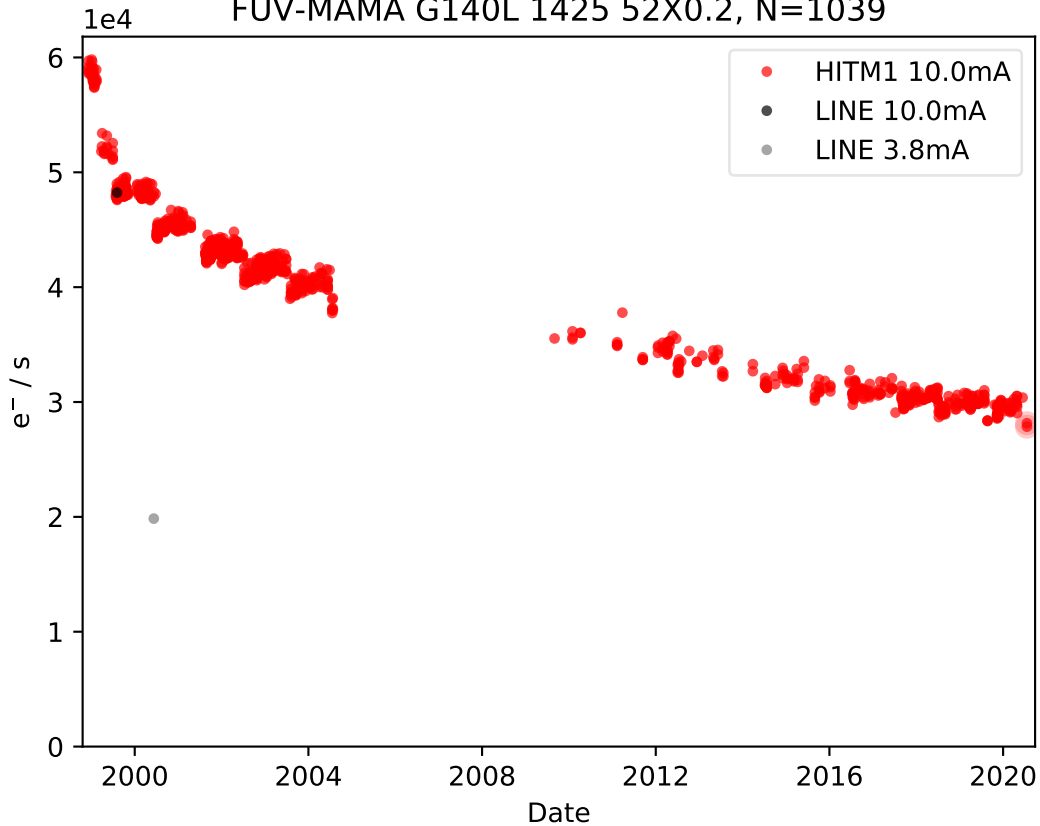
FUV-MAMA E140M 1425 0.2X0.2, N=451



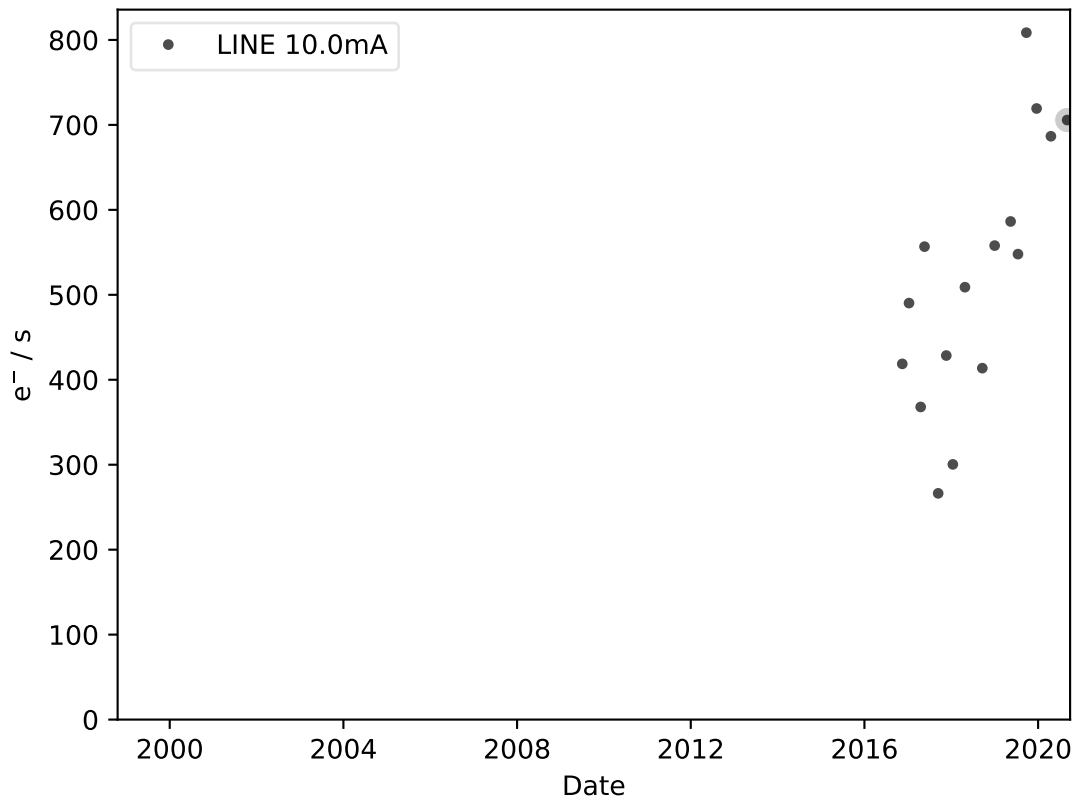
FUV-MAMA G140L 1425 52X0.05, N=1484



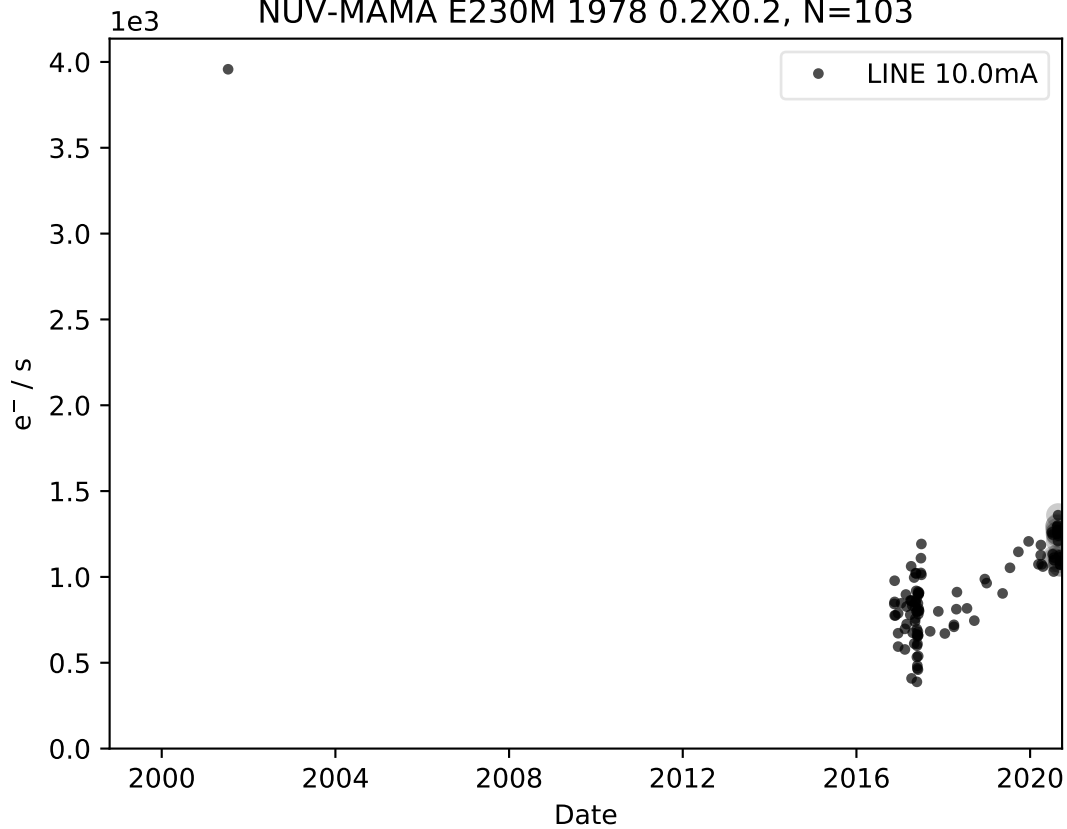
FUV-MAMA G140L 1425 52X0.2, N=1039



NUV-MAMA E230H 2263 0.2X0.2, N=16

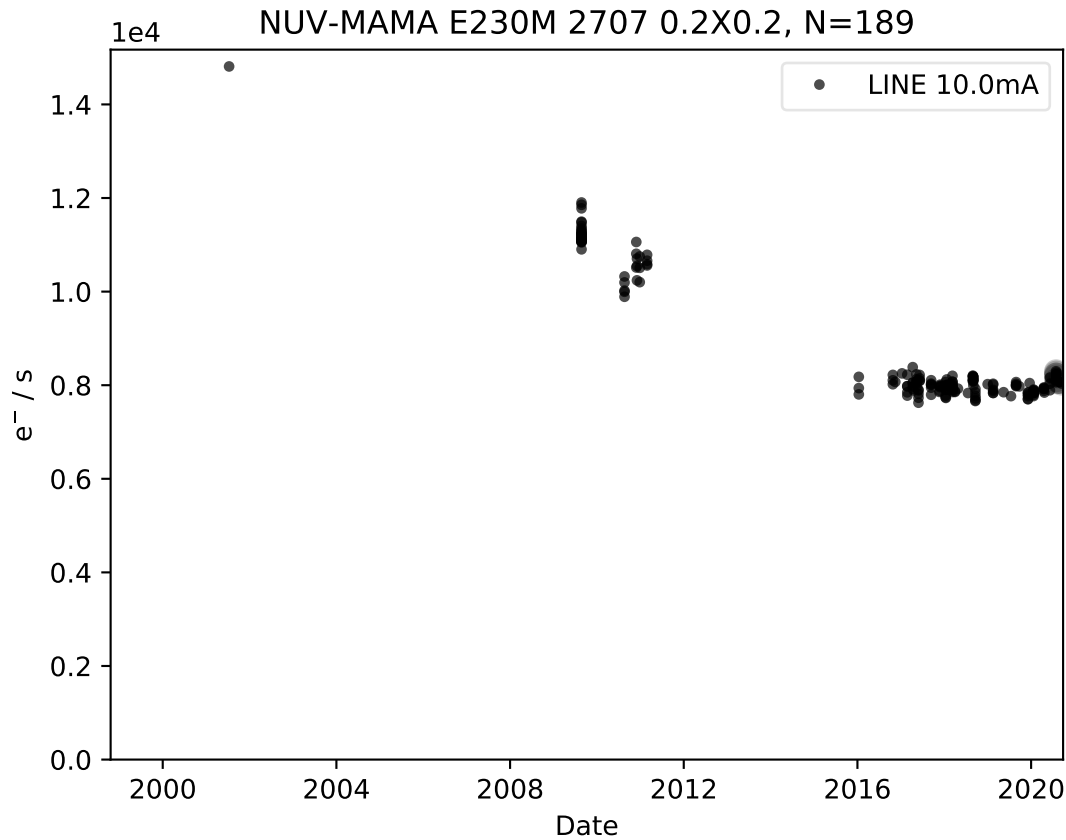


NUV-MAMA E230M 1978 0.2X0.2, N=103

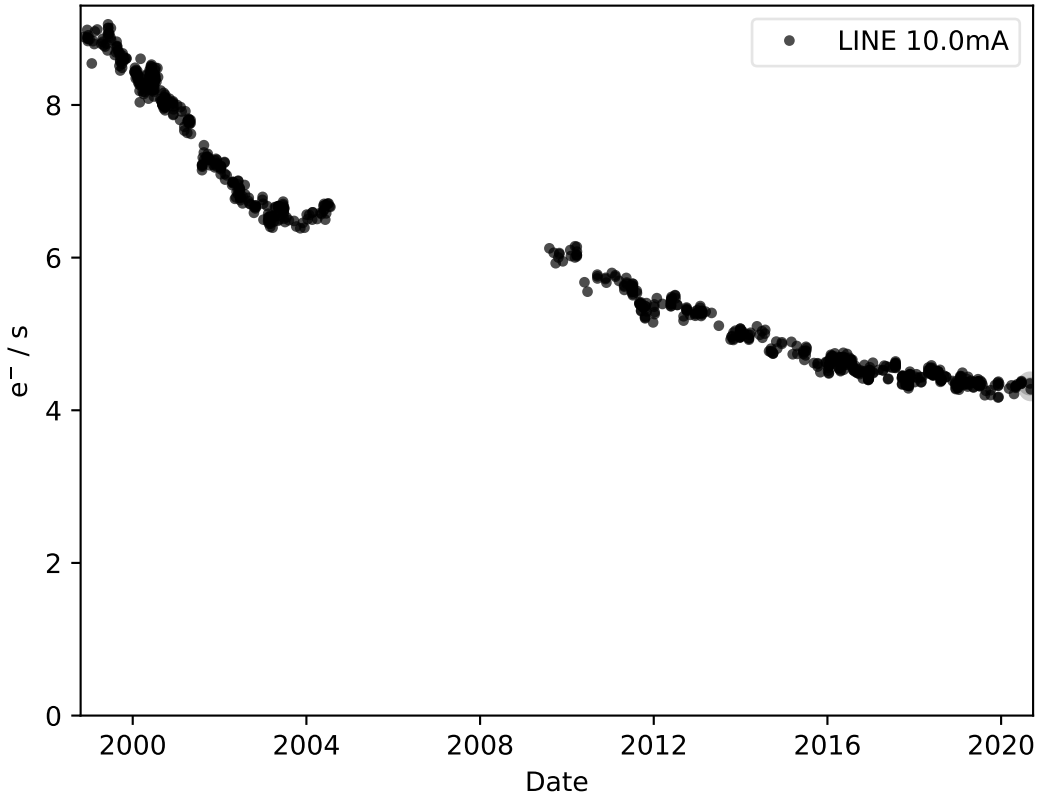


NUV-MAMA E230M 2707 0.1X0.03, N=38





1e4 NUV-MAMA G230L 2376 31X0.05NDC, N=871



NUV-MAMA G230L 2376 52X0.2, N=1166

